

雷州马尾藻 *Sargassum leizhouense*(*Fucales*, *Phaeophyta*)形态结构及分类研究*

赵素芬¹ 孙会强² 刘东超¹

(1. 广东海洋大学水产学院 湛江 524025; 2. 广东海洋大学实验教学部 湛江 524088)

摘要 本研究通过对产于雷州半岛的雷州马尾藻(*Sargassum leizhouense*)形态结构进行研究, 结合形态解剖、分类学特征等观察, 比较与同类组中其他 3 种马尾藻的特征差异, 澄清了其分类地位, 并修改了雷州马尾藻的检索表。结果表明, 雷州马尾藻属于马尾藻属、真马尾藻亚属、叶托混生组、拟叶托混生亚组; 尽管雷州马尾藻与该组的瓦氏马尾藻(*S. vachellianum*)、鳞茎马尾藻(*S. bulbiferum*)及滑托组的亨氏马尾藻(*S. henslowianum*)形态有许多相似之处, 但其与上述 3 种马尾藻的主要差异在于球芽及分裂叶的有无。本研究不仅修改了雷州马尾藻分类地位, 也为将来开展该马尾藻的人工繁育及养殖、加工提供帮助。

关键词 雷州马尾藻; 形态; 结构; 分类

中图分类号 Q949.28 doi: 10.11693/hyz20121028002

雷州马尾藻隶属于褐藻门(Phaeophyta), 褐藻纲(Phaeophyceae), 墨角藻目(Fucales), 马尾藻科(Sargassaceae), 马尾藻属(*Sargassum*)。马尾藻属最早由 Agardh(1820)建立。目前, 该属大约有 1000 种(包括同物异名种), 其中约 300 多种被公认(Mattio *et al.*, 2011; 赵素芬等, 2012)。Agardh(1848, 1889)根据藻体的叶片、气囊、生殖托等特征将该属分为 5 个亚属: 叶枝亚属(*Phyllotrichia*)、裂叶亚属(*Schizophycus*)、反曲叶亚属(*Bactrophycus*)、节叶亚属(*Arthrophycus*)及真马尾藻亚属(*Sargassum*), 其后该属的经典分类研究均是在此基础上修改并完善的。Womersley(1954)认为叶枝亚属(*Phyllotrichia*)和裂叶亚属(*Schizophycus*)的差异是分枝和气囊顶端小叶的发育程度, 不足以作为亚属的划分标准, 建议合并成叶枝亚属(*Phyllotrichia*)。曾呈奎等根据反曲叶亚属(*Bactrophycus*)种类生殖托既有单性、又有复合体的特点, 建议将其与节叶亚属(*Arthrophycus*)合并(Tseng, 1985; 曾呈奎等, 2000)。目前, 马尾藻属的分类主要

以叶枝亚属、反曲叶亚属、节叶亚属和真马尾藻亚属为参考依据。

由于富含膳食纤维、褐藻淀粉、矿物质和维生素等组分(王博等, 2010), 马尾藻一直是藻胶、食品、医药和饲料等领域的重要原料(李来好等, 1997; 刘东超等, 2006a; Ye *et al.*, 2009)。近几年来, 随着浅海马尾藻的过度采集, 全球环境气候变化, 以及潮间带海藻栖息环境的改变, 导致马尾藻资源量急剧下降(Sun *et al.*, 2010), 因此, 大力开展马尾藻的人工繁育及增养殖尤为迫切(刘东超等, 2006b; Xie *et al.*, 2013)。雷州马尾藻是雷州半岛潮间带常见的一种典型褐藻(曾呈奎等, 1959, 2000), 由于该马尾藻藻体大, 被用作鲍鱼饵料之一, 并被大量采集作为饲料等工业原料, 近五年其资源量明显减少(赵素芬等, 2006), 因此, 迫切需要开展该马尾藻的形态学研究、人工繁育及增养殖工作, 以改善浅海生态环境, 构建藻场, 为渔业资源的修复发挥重要作用。

本研究旨在通过海藻采集, 结合藻体形态特征

* 广东省科技计划项目, 2009B080701048 号; 广东海洋大学引进人才科研启动费项目, 1112386 号。赵素芬, 副教授, E-mail: sufzhao@126.com

通讯作者: 刘东超, 副教授, E-mail: dongchaoliu696@hotmail.com

收稿日期: 2012-10-28, 收修改稿日期: 2013-01-24

观察及记录, 对我国雷州马尾藻进行形态特征、内部结构定量描述, 重新对该马尾藻形态特征与分类地位进行研究, 为其他马尾藻分类提供方法借鉴, 也为开展雷州马尾藻的人工繁育、养殖及加工利用提供基础。

1 材料与方法

1.1 材料

雷州马尾藻取自湛江徐闻北港($20^{\circ}13.855'N$, $110^{\circ}6.725'E$), 在退潮时间隔1—5m随机采集30—50棵, 生长繁盛期与生殖期藻体分别采自2010年3月和2011年4月。采集后的藻体可直接用于数据测定和显微观测, 或者暂养保存。实验室暂养条件为: 海水温度 $20^{\circ}C$, 海水盐度33, 光照强度 $40\text{--}60 \mu\text{mol}/(\text{m}^2\cdot\text{s})$, 光照周期12L:12D, 充气培养。

1.2 方法

1.2.1 外部形态观测 将完整的藻体平均分为3段, 分别称基部、中部和顶端。肉眼观察并结合标尺测量, 每组数据皆采用30—50个样本进行统计分析, 主要记录马尾藻的藻体颜色, 固着器、主干、初生分枝、次生分枝、叶片、生殖托和气囊等的形状与大小, 分枝、生殖托和气囊的生长与分布特征, 共计20多个指标。

1.2.2 内部结构观测 从生长藻体中随机取10棵, 从其中取30个次生分枝, 切下顶端10cm小段, 进行徒手切片, 用L1100A型生物电光显微镜观察藻体的内部结构; 分别取10个发育早期(雌托长 $(2.71\pm0.70)\text{mm}$, 雄托长 $(3.68\pm1.21)\text{mm}$)、中期(雌托长 $(4.57\pm0.80)\text{mm}$, 雄托长 $(6.64\pm1.85)\text{mm}$)和晚期(雌托长 $(5.78\pm1.27)\text{mm}$, 雄托长 $(15.71\pm4.62)\text{mm}$)的雌、雄生殖托序, 从中分别取30—50个生殖托, 进行切片, 然后在光学显微镜(OLYMPUS BH-2)下观察, 记录藻体生殖托顶端1cm内的横切面结构特征。

1.2.3 数据分析 实验数据用SPSS 13.0数据处理系统进行统计分析, 结果以平均值±标准误差表示。

1.2.4 形态与分类分析 根据雷州马尾藻的外部形态与内部结构特征进行统计分析, 参照马尾藻属海藻的分类检索表(曾呈奎, 2000), 对雷州马尾藻的分类特征进行对比检验, 对其分类地位进行修订。

2 结果

2.1 外部形态特征

2.1.1 生长期 藻体黄褐色至褐色, 多生长在低

潮带及潮下带1—2m深处(图1), 藻体长达3m以上, 由固着器、主干、初生分枝、球芽、叶片、次生分枝和气囊组成(图2)。固着器盘状。主干圆柱形, 表面瘤状。初生分枝数条, 由主干顶部长出, 呈辐射状排列, 下部(约占藻体长度的2/3)扁压或扁平, 上部(约占藻体长度的1/3)圆柱形或亚圆柱形, 表面光滑。初生分枝基部分布有2—5个椭圆形球芽, 表面光滑。叶片长披针形, 有一个短柄, 基部略楔形, 顶端尖细。叶上中肋明显, 并延伸至叶尖, 中肋两侧多毛窝, 叶片边缘全缘或有锯齿, 锯齿或多或少, 或深或浅。藻体中下部叶片常分叉, 近基部叶片常见1—3个, 少数4—7个叉, 中部叶片偶见1个, 而顶端叶片无分叉。次生分枝圆柱形, 由初生分枝的腋生出。气囊球形、椭圆形或卵形, 具圆柱形、亚圆柱形或叶状柄, 柄或长或短, 顶端圆钝或具小刺状突起, 偶见叶状, 表面多毛窝, 由叶腋生出。此时藻体已多见生殖托, 但尚不易肉眼识别雌雄。生殖托圆柱形, 顶端尖, 表面光滑, 瘤状, 由叶腋生出。



图1 潮间带自然栖息的雷州马尾藻
Fig.1 *S. leizhouense* inhabitant in intertidal area

结果表明, 藻体在同一固着器上的主干数为 (6.00 ± 2.96) 个, 同一主干的初生分枝数为 (3.11 ± 0.96) 个, 生殖托分枝 (2.50 ± 0.51) 回(表1)。

2.1.2 生殖期 雷州马尾藻藻体可明显区分雌、雄个体(图3), 雌、雄异体, 生殖托呈复总状托序, 具一短柄。雌生殖托(图4a)短, 基部圆柱形, 顶端多为二叉形, 偶见三叉形, 末端尖细, 表面疣状, 无刺, 分枝1—3回。雄生殖托(图4b)呈长圆柱形, 顶端无分枝, 末端尖细, 表面疣状, 无刺, 分枝3—4回。雌、雄体出现生殖托的位置距初生分枝基部的距离分别为 $(11.81\pm4.85)\text{cm}$ 和 $(17.24\pm10.88)\text{cm}$, 雌、雄体次生分

表 1 雷州马尾藻的外部形态特征统计结果
Tab.1 Statistical results of morphological observations to *S. leizhouense*

特征	大小(mm)		
	基部	中部	顶端
藻体长	1047.39±508.97		
固着器	14.75±5.96×11.8±5.05		
主干(长度×直径)	17.14±8.02×3.58±0.61		
初生分枝直径	2.81±0.45	1.82±0.47	1.30±0.38
次生分枝长	56.07±31.60		
次生分枝直径	1.13±0.29	0.82±0.18	0.43±0.13
叶长	80.00±16.90	61.09±16.24	28.51±11.55
叶宽	11.63±2.36	11.36±1.01	7.12±1.88
气囊(长×直径)	5.59±0.85×3.79±0.64		
气囊柄(长×直径)	5.08±1.17×0.43±0.13		
生殖托序长	63.18±19.27		
生殖托(长×直径)	10.26±4.04×0.75±0.18		
生殖托柄(长×直径)	2.26±1.01×0.39±0.12		
球芽(长×宽×厚)	10.74±2.93×6.04±1.32×3.77±0.93		

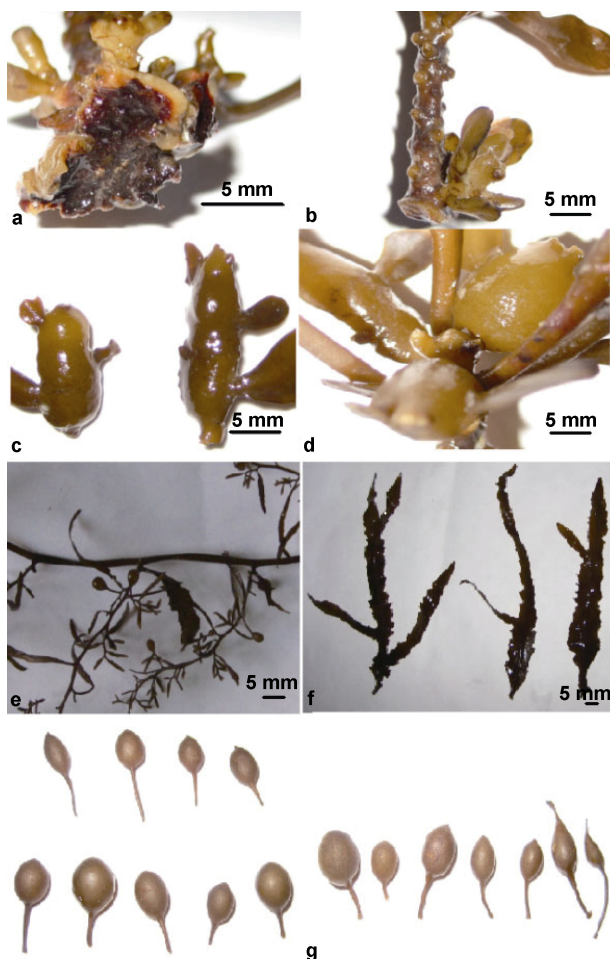


图 2 雷州马尾藻各部位的形态观察
Fig.2 Morphological observations of different parts of *S. leizhouense*

a: 固着器; b: 主干; c: 球芽; d: 初生分枝基部; e: 次生分枝;
f: 基部叶片; g: 气囊

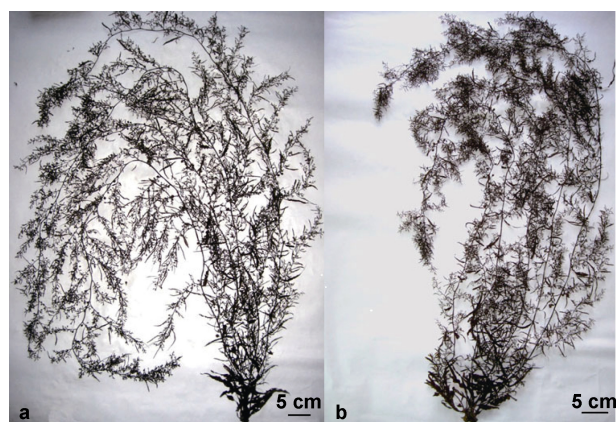


图 3 雷州马尾藻的雌体(a)与雄体(b)
Fig.3 Female (a) and male (b) individual of *S. leizhouensis*

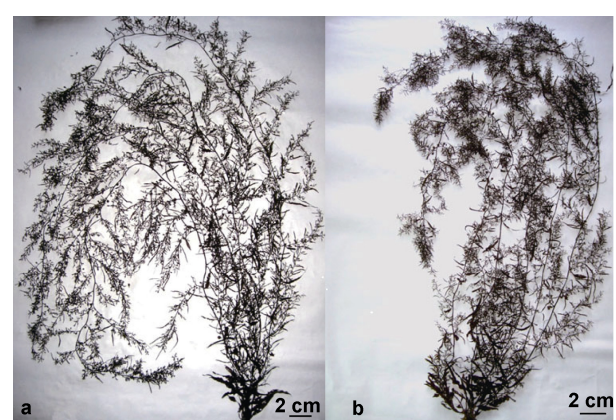


图 4 雷州马尾藻的雌生殖托(a)与雄生殖托(b)
Fig.4 Female (a) and male (b) receptacles on *S. leizhouensis*

枝上托枝数分别介于 16—39 个和 17—35 个之间, 平均分别为 27.95 ± 6.21 个与 25.94 ± 5.01 个。

结果表明(表2), 雷州马尾藻的雄性个体比雌性个体重。虽然雌体的初生分枝较宽, 次生分枝较长、藻体中下部枝间距较大, 球芽、藻叶与气囊皆较大,

但由于其生殖托较小, 成熟雄性生殖托长度平均为雌性的2.48倍, 托柄长平均为雌性的2.24倍, 单棵雄性藻体比雌性藻体重18.7%。

表 2 雷州马尾藻藻体的外部形态特征统计结果

Tab.2 Statistics of morphological features of male and female thalli of *S. leizhouense*

特征	雌体			雄体		
	基部	中部	顶端	基部	中部	顶端
生物量(g/m^2)	548.64±323.36			902.36±227.4		
单棵重($\text{g}/\text{株}$)	69.58±55.34			82.60±59.57		
初生分枝长(cm)	96.60±47.80			97.42±41.89		
初生分枝直径(mm)	2.55±0.43	1.81±0.20	1.27±0.21	2.38±0.38	1.90±0.23	1.28±0.22
次生分枝长(cm)	13.68±8.99	14.11±7.06	5.30±1.70	12.79±5.34	11.90±5.10	7.21±3.03
次生分枝直径(mm)	1.42±0.20	1.25±0.20	0.97±0.15	1.41±0.17	1.17±0.17	0.84±0.14
次生分枝枝间距(cm)	1.81±1.11	2.58±1.26	1.30±0.52	3.32±2.00	3.18±1.35	0.64±0.35
叶长(mm)	125.79±37.59	75.19±11.46	51.25±15.71	98.68±26.28	71.04±9.75	49.62±12.46
叶宽(mm)	15.24±3.29	6.54±2.38	4.73±1.22	12.67±2.62	6.20±1.93	4.01±0.97
叶柄长(mm)	3.09±1.79	3.05±0.68	3.56±1.03	2.63±2.98	2.93±1.12	3.09±0.92
叶柄宽(mm)	1.55±0.26	0.88±0.11	0.78±0.15	1.38±0.33	0.91±0.13	0.71±0.17
气囊长(mm)	7.18±1.03	7.26±1.05	5.71±1.19	6.66±0.94	6.87±0.66	5.20±0.74
气囊直径(mm)	5.30±0.59	5.26±0.85	3.98±0.82	5.15±1.00	5.01±1.01	3.50±0.72
气囊柄长(mm)	4.78±1.76	4.98±1.63	5.14±2.64	4.19±1.47	5.30±1.86	4.88±1.32
气囊柄直徑(mm)	0.71±0.34	0.64±0.12	0.80±0.44	0.66±0.15	0.72±0.17	0.65±0.13
生殖托长(mm)	7.96±1.84			19.78±5.80		
生殖托宽(mm)	0.99±0.11			1.00±0.17		
生殖托柄长(mm)	1.07±0.43			2.40±1.03		
生殖托柄宽(mm)	0.42±0.09			0.41±0.09		
生殖托分枝数(mm)	3.3±1.06			3.5±0.54		
生殖窝孔(μm)	197.17±39.85 × 170±36.3			65.49±20.18 × 44.05±10.60		
球芽长(mm)	11.09±3.34			10.62±3.32		
球芽宽(mm)	6.24±0.93			5.23±0.91		
球芽厚(mm)	4.62±0.90			3.92±0.89		

2.2 内部结构观察

2.2.1 营养体切面观察 雷州马尾藻分枝的横切面结构由表皮层、皮层和髓部三部分组成(图5)。表皮层由1—3层含色素的细胞组成, 细胞长多角形, 大小为 $(13.56\pm4.01)\mu\text{m}\times(10.54\pm2.39)\mu\text{m}$; 皮层细胞排列不甚规则, 由10.80±1.99层圆形、椭圆形或多角形细胞组成, 大小不一, 甚至相差悬殊, 平均为 $(37.50\pm16.74)\mu\text{m}\times(28.68\pm11.33)\mu\text{m}$; 髓部细胞比表皮细胞略大, 切面观近圆形, 大小为 $(17.23\pm5.06)\mu\text{m}\times(14.31\pm3.98)\mu\text{m}$ 。藻体外被胶质层, 厚 $(9.55\pm3.36)\mu\text{m}$ 。

2.2.2 生殖托切面观察 雌、雄生殖托的横切面结

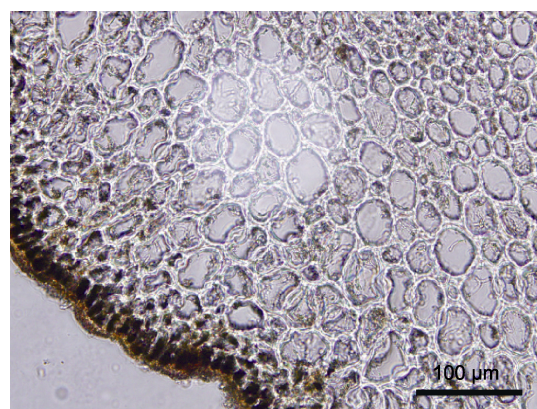


图 5 雷州马尾藻分枝的横切面观

Fig.5 The transverse section of *S. leizhouense* branches

构中, 表皮细胞都是由一层近方形细胞组成, 雄托早期表皮细胞比雌性略小, 而后期略大; 皮层部位形成许多生殖窝, 雌窝比雄窝大, 窝外皮层细胞较营养期少, 而窝内多见滋养丝细胞, 发育早期雄性

的滋养丝细胞较雌性的约大 17%, 而中、后期分别是雌性的 57.6% 和 57.2%; 髓部面积较营养期小, 细胞数目少(表 3, 图 6)。雌性生殖托的胶质层比雄性的厚 18.7%。

表 3 雷州马尾藻生殖托的横切面结构特征统计结果
Tab.3 Statistics of transverse section of *S. leizhouense* receptacles

生殖托特征	雌性	雄性
胶质层厚(μm)	(8.38±1.56)–(15.69±1.57)	(7.05±1.50)–(10.90±1.48)
发育早期表皮细胞(μm^2)	(19.56±2.47)×(13.14±2.92)	(18.40±2.77)×(12.64±2.21)
发育中期表皮细胞(μm^2)	(11.42±2.11)×(11.33±3.79)	(14.15±6.59)×(12.15±2.70)
发育后期表皮细胞(μm^2)	(14.10±2.17)×(11.40±2.42)	(14.71±2.93)×(11.80±2.13)
发育早期生殖窝大小(μm^2)	(207.76±26.63)×(139.79±27.69)	(195.50±59.67)×(159.98±47.57)
发育中期生殖窝大小(μm^2)	(290.38±10.54)×(204.25±10.62)	(283.46±36.39)×(194.85±22.66)
发育后期生殖窝大小(μm^2)	(313.00±72.66)×(235.46±61.97)	(309.44±52.46)×(215.56±58.17)
发育早期滋养丝细胞(μm^2)	(25.09±9.30)×(11.90±2.30)	(29.36±11.13)×(13.97±2.76)
发育中期滋养丝细胞(μm^2)	(39.22±12.47)×(16.50±3.75)	(22.58±1.66)×(15.32±2.53)
发育后期滋养丝细胞(μm^2)	(46.70±5.14)×(14.55±2.31)	(26.73±6.64)×(16.18±2.22)

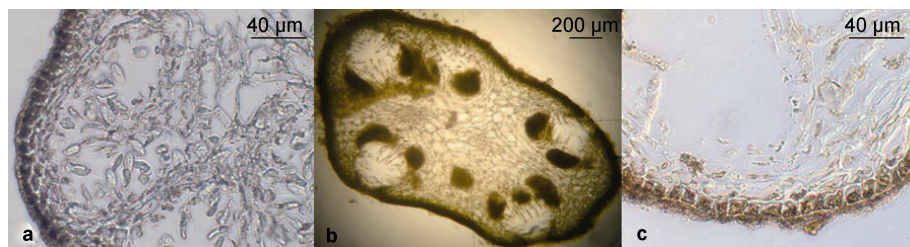


图 6 雷州马尾藻雌、雄生殖托的横切面观
Fig.6 The transverse section of female and male receptacles in *S. leizhouense*
a: 雄生殖托; b: 雌生殖托; c: 雌生殖托放大

2.3 雷州马尾藻的分类地位讨论

通过雷州马尾藻形态结构、生殖托(有一短柄, 柄部长出小藻叶或小气囊)的观察, 以及相关文献对比分析(曾呈奎等, 2000), 我们建议雷州马尾藻属于马尾藻属、叶托混生组(Section *Zygocarpicae* Setchell)、拟叶托混生亚组(Subsection *Pseudozygocarpicae* Setchell)。

3 讨论

3.1 雷州马尾藻的形态结构

曾呈奎等(2000)在《中国海藻志》中对我国马尾藻属的分类依据是藻体的外部形态, 主要包括固着器形状, 主干长度、分叉与否、表面光滑与否, 分枝数目、形状、长度、间隔, 叶的形状、是否分叉、长度、宽度、中肋、毛窝与边缘形状, 气囊的形状、大小、顶端形状与表面毛窝多少, 生殖托的形状、长度、

表面光滑与否, 生殖托与叶、气囊着生方式, 雌雄同体或异体等来判断, 但并未涉及藻体内部结构, 并且所有特征描述均缺乏统计分析。Mattio 等(2008)研究了法国产的马尾藻形态并进行统计分析, 但仅用叶子(长度×宽度)、气囊(直径)和生殖托(长度)3个参数的平均值。Wong 等(2004)也采用统计学方法对棒托马尾藻(*S. baccularia*)与匍枝马尾藻(*S. polycystum*)的部分形态特征进行了分析。虽然 Yoshida 等(1983)对日本产的 1 种马尾藻, 以及 Noiraksar 等(2008)对泰国产的 10 种马尾藻的生殖托进行了横切面观察, 但仅有图片, 未有统计结果。由此可见, 马尾藻的形态结构研究既有定性描述也有定量研究, 相关结果虽可相互参考, 但相关的形态分类标准还需要讨论与统一。

3.2 雷州马尾藻分类地位的讨论

曾呈奎等(2000)将我国马尾藻属划分为 3 个亚属,

其中叶枝亚属有4个种, 反曲叶亚属16个种, 真马尾藻亚属110个种, 其后该方面未见新种报道。根据雷州马尾藻茎、藻叶有无明显分化, 茎扁压、亚圆柱形和圆柱形, 藻叶扁平, 基部分枝或藻叶一般不向下反曲, 从生殖托的基部长出小藻叶或小气囊等特征, 我们认为雷州马尾藻属于真马尾藻亚属、叶托混生组、拟叶托混生亚组。

雷州马尾藻雌、雄异株, 生殖托表面光滑, 藻叶较厚, 表面具有毛窝, 应与瓦氏马尾藻(*S. vachellianum*)接近, 但其形态特征又与瓦氏马尾藻的描述有较大出入, 主要依据是: 1. 曾呈奎等(2000)未明确后者的初生分枝数, 一般认为一个主干上仅有一个初生分枝; 王伟定(2003)描述“主枝2—3条”, 而雷州马尾藻同一主干上辐射状分布有2—4个初生分枝; 2. 瓦氏马尾藻无球芽, 而雷州马尾藻有; 3. 瓦氏马尾藻中、下部藻叶无分叉, 而雷州马尾藻有; 4. 瓦氏马尾藻生殖托为典型的圆锥花序, 且雌、雄生殖托外形相似, 而雷州马尾藻为总状托序, 并且雌、雄生殖托除长短差异外, 外形也明显不同。

通过对分类地位相同的相关种类, 我们发现雷州马尾藻与鳞茎马尾藻(*S. bulbiferum*)外形比较相似, 二者同属于真马尾藻亚属、叶托混生组、拟叶托混生亚组, 鳞茎马尾藻的特征描述与本种也极相近, 但雷州马尾藻属于雌、雄异体, 而鳞茎马尾藻属于雌、雄同体。

曾呈奎等(2000)将雷州马尾藻按生殖托序内没有小气囊或小藻叶归为滑托组(Section *Malacocarpicae*), 根据其生殖托总状排列, 托柄无生殖窝, 小枝表面光滑, 生殖托较长, 表面多缢缩, 归为总状托序亚组(*Racemosae*), 英托系(Series *Siliquosae*)。滑托组、英托系的亨氏马尾藻(*S. henslowianum*)在中国南海分布较广(曾呈奎等, 2000), 并且相关研究较多(李春莲, 2011¹⁾; Zou et al., 2011; Wei et al., 2012)。我们通过对比发现, 雷州马尾藻与亨氏马尾藻的形态差异较大, 主要表现为: 1. 雷州马尾藻有球芽, 而亨氏马尾藻无; 2. 雷州马尾藻的初生分枝中、下部扁压或扁平, 而亨氏马尾藻的呈圆柱状; 3. 雷州马尾藻基部的藻叶多呈分裂状, 而亨氏马尾藻的不分裂; 4. 雷州马尾藻的生殖托顶端常分叉, 而亨氏马尾藻的多单生。因此我们认为曾呈奎等(2000)将雷州马尾藻归为滑托组欠准确, 因为本种生殖托的基部明显有小气囊或小藻叶, 建议修改、完善该种的分类地位。

通过统计分析我们也发现, 《中国海藻志》中对

雷州马尾藻形态特征的描述欠妥。主要体现在藻体及各组成部分的大小方面。因为本研究观测到的数据明显比前期记载的大, 所采集的雷州马尾藻个体长达3m以上, 而记载“雷州马尾藻藻体高至50cm”(曾呈奎等, 2000); 两者从主干上生出初生分枝和一些芽, 所记载的“芽较短, 高约1cm, 直径为3—5mm”。本研究中雷州马尾藻的芽长达1.4cm, 比记载的高40%, 直径达7.2mm, 约是记载的2倍; 其他特征如藻叶、气囊和生殖托大小等的描述也有出入, 书中记载的雷州马尾藻初生分枝圆柱状, 藻叶较小, 藻叶较薄等特征与研究的雷州马尾藻形态特征明显不符, 本种的初生分枝中、下部皆扁压或扁平, 顶部呈圆柱状; 基部藻叶长可达16.3cm, 宽可达1.9cm, 且明显较厚。综上所述, 我们认为曾呈奎等(2000)所述的雷州马尾藻标本特征与采集样本的数量及地点有关, 这可能与当时海藻样本采集量少有关, 缺乏统计结果。另外, 曾呈奎等(2000)所采集的标本是二十世纪七、八十年代的, 经过近三、四十年潮间带各种条件的变化, 雷州马尾藻的形态等各方面也可能发生较大的变化。曾呈奎等(2000)描述的标本采自广东硇洲岛海域, 而本种采自徐闻海域, 两地海面相距约86海里, 两地的同种马尾藻是否存在地理差异, 还需进一步研究。

4 结论

4.1 雷州马尾藻形态特征描述

藻体呈黄褐色至褐色, 由固着器、主干、初生分枝、球芽、叶片、次生分枝、气囊和生殖托组成, 单生或丛生, 长达3m以上。固着器盘状, 大小为(14.75±5.96)mm×(11.8±5.05)mm。主干圆柱形, 表面瘤状, 长(17.14±8.02)mm, 直径(3.58±0.61)mm。初生分枝2—4条, 由主干顶部长出, 呈辐射状排列, 下部(约占藻体长度的2/3)扁压或扁平, 直径(1.82±0.47)—(2.81±0.45)mm, 上部(约占藻体长度的1/3)圆柱形或亚圆柱形, 表面光滑, 直径(1.30±0.38)mm。初生分枝基部分布有2—5个椭圆形球芽, 表面光滑, 长(10.74±2.93)mm, 宽(6.04±1.32)mm, 厚(3.77±0.93)mm。叶片长披针形, 具一短柄, 基部略楔形, 顶端圆钝或尖细, 叶长(28.51±11.55)—(80.00±16.90)mm; 叶宽(7.12±1.88)—(11.63±2.36)mm。叶上中肋明显, 并延伸至叶尖, 中肋两侧多毛窝, 叶片边缘全缘或有锯齿, 锯齿或多或少, 或深或浅。藻体基部叶片常分叉, 近基部叶片常见1—3个, 少数4—7个, 中部及顶端叶片偶见1个分叉。次生分枝圆柱形, 由

初生分枝的叶腋生出, 长(56.07 ± 31.60)mm, 直径(0.43 ± 0.13)—(1.13 ± 0.29)mm。气囊球形、椭圆形或卵形, 具圆柱形、亚圆柱形或叶状细柄, 柄或长或短, 顶端圆钝或具小刺状突起, 偶见叶状, 表面多毛窝, 由叶腋生出, 长(5.59 ± 0.85)—(7.18 ± 1.03)mm, 直径(3.79 ± 0.64)—(5.30 ± 0.59)mm, 柄长(5.08 ± 1.17)—(5.30 ± 1.86)mm, 柄径(0.43 ± 0.13)—(0.80 ± 0.44)mm。雌雄异体, 生殖托呈复总状托序, 具一短柄。雌生殖托短, 基部圆柱形, 顶端多为二叉形, 偶见三叉形, 末端尖细, 表面疣状, 无刺, 分枝1—3回, 长(7.96 ± 1.84)mm, 宽(0.99 ± 0.11)mm, 托柄长(1.07 ± 0.43)mm, 宽(0.42 ± 0.09)mm。雄生殖托长圆柱形, 通常顶端无分枝, 末端尖细, 表面疣状, 无刺, 分枝3—4回, 长(19.78 ± 5.80)mm, 宽(1.00 ± 0.17)mm, 托柄长(2.40 ± 1.03)mm, 宽(0.41 ± 0.09)mm。雌、雄体出现生殖托的位置距初生分枝基部的距离分别为(11.81 ± 4.85)cm和(17.24 ± 10.88)cm, 雌、雄体次生分枝上托枝数分别介于16—39个和17—35之间, 平均分别为(27.95 ± 6.21)个与(25.94 ± 5.01)个。多生长在低潮带及潮下带1—2m深处。

4.2 雷州马尾藻及相近种检索表

1. 藻叶扁平, 气囊从叶腋中长出(马尾藻属 *Sargassum*).....2
2. 基部分枝或藻叶一般不向下反曲(真马尾藻亚属 *Sargassum*).....3
 3. 从生殖托的基部长出小藻叶或小气囊(拟叶托混生组 *Pseudozygocapicace*).....4
 3. 生殖托序内没有小藻叶或小气囊, 生殖托表面光滑(滑托组 *Pseudozygocapicace*).....7
 4. 藻体雌雄同株, 基部有鳞茎.....鳞茎马尾藻 *S. bulbiferum*
 4. 藻体雌雄异株.....5
 5. 生殖托表面光滑.....6
 6. 藻叶较厚, 基部藻叶不分裂, 初生分枝基部无球芽.....瓦氏马尾藻 *S. vachellianum*
 6. 藻叶较厚, 基部藻叶常常分裂, 初生分枝基部有球芽.....雷州马尾藻 *S. leizhouense*
 7. 生殖托总状排列、较长, 初生分枝圆柱状, 藻叶较小、不分裂.....亨氏马尾藻 *S. henslowianum*

参 考 文 献

- 王伟定, 2003. 浙江省马尾藻属和羊栖菜属的调查研究. 上海水产大学学报, 12(3): 227—232
- 王博, 黄和, 熊皓平等, 2010. 磨洲马尾藻的营养成分分析与评价. 食品研究与开发, 31(10): 195—197

- 刘东超, 赵素芬, 2006a. 马尾藻—具有人工栽培前景的大型经济海藻. 海洋与渔业, 11: 18—20
- 刘东超, 赵素芬, 谢青明, 2006b. 马尾藻池塘人工养殖技术初步研究. 中国水产, 1: 63—64
- 李来好, 杨贤庆, 吴燕燕等, 1997. 马尾藻的营养成分分析和营养学评价. 青岛海洋大学学报, 27(3): 319—325
- 李春莲, 2011. 低分子量亨氏马尾藻岩藻聚糖硫酸酯的制备及抗肿瘤活性研究. 湛江: 广东海洋大学硕士论文, 1—74
- 赵素芬, 孙会强, 袁振江等, 2006. 磨洲岛春季底栖海藻资源. 上海水产大学学报, 15(3): 321—327
- 赵素芬, 罗世菊, 孙会强等, 2012. 海藻与海藻栽培学. 北京: 国防工业出版社, 178—222
- 曾呈奎, 张俊甫, 1959. 关于几种褐藻在中国沿岸的不连续分布. 海洋与湖沼, 2(2): 86—92
- 曾呈奎, 陆保仁, 2000. 中国海藻志. 第三卷 褐藻门, 第二册 墨角藻目. 北京: 科学出版社, 12—124
- Agardh C A, 1820. Species Algarum Rite Cognitae, Cum Synonymis, Differentiis Specificis et Descriptionibus Succinctis. vol. 1. Berling, Lund: 168
- Agardh J G, 1848. Species Genera et Ordines Algarum, seu Descriptiones Succinctae Specierum, Generum et Ordinum, Quibus Algarum Regnum Constituitur. Algas Fucoideas Complectens, vol. 1. Gleerup, C W K, Lund: 363
- Agardh J G, 1889. Species Sargassorum Australiae descriptae et dispositae. Öfversigt af Kongl. Svenska Vetenskaps-Adademiens Handlingar, 23: 1—133
- Mattio L, Payri C E, 2011. 190 years of *Sargassum* taxonomy, facing the advent of DNA phylogenies. The Botanical Review, 77(1): 31—70
- Mattio L, Payri C E, Stiger-Pouvreau V, 2008. Taxonomic revision of *Sargassum* (Fucales, Phaeophyceae) from French Polynesia based on morphological and molecular analyses. Journal of Phycology, 44(6): 1541—1555
- Noiraksar T, Ajisaka T, 2008. Taxonomy and distribution of *Sargassum* (Phaeophyceae) in the Gulf of Thailand. Journal of Applied Phycology, 20(5): 513—527
- Sun J Z, Ning X R, Le F F et al, 2010. Long term changes of biodiversity of benthic macroalgae in the intertidal zone of the Nanji islands. Acta Ecologica Sinica, 30(2): 106—112
- Tseng C K, 1985. *Sargassum* section *Phylloctystae* sect. nov., a new section of *Sargassum* subgenus *Batrophycus*. In: Abbot I A, Norris J N eds. Taxonomy of Economic Seaweed: With Reference to Some Pacific and Caribbean Species. vol. 1. California Sea Grant, La Jolla, CA: 15
- Wei M Y, Li S D, Chen J X et al, 2012. Chemical constituents of the brown alga *Sargassum henslowianum* collected from the south China Sea. Chemistry of Natural Compounds, 48(4): 677—678
- Wong C L, Gan S Y, Phang S M, 2004. Morphological and molecular characterisation and differentiation of *Sargassum baccharia* and *S. polycystum* (Phaeophyta). Journal of Applied Phycology, 16(6): 439—445
- Womersley H B S, 1954. Australian species of *Sargassum*, subgenus *Phyllotrichia*. Australian Journal of Botany, 2(3): 337—354
- Xie E Y, Liu D C, Liu C et al, 2013. Artificial seed production and cultivation of the edible brown alga *Sargassum naozhouense* Tseng et Lu. Journal of Applied Phycology,

- 25(2): 513—522
- Ye H, Zhou C H, Sun Y et al, 2009. Antioxidant activities in vitro of ethanol extract from brown seaweed *Sargassum pallidum*. Europe Food Research Technology, 230(1): 101—109
- Yoshida T, Konno T, 1983. Taxonomic study on *Sargassum sagamianum* Yendo and related species (Phaeophyta, Fucales). The Botanical Magazine, 96(3): 145—157
- Zou D H, Gao K S, Chen W Z, 2011. Photosynthetic carbon acquisition in *Sargassum henslowianum* (Fucales, Phaeophyta), with special reference to the comparison between the vegetative and reproductive tissues. Photosynthesis research, 107(2): 159—168

TAXONOMIC RE-EXAMINATION ON *SARGASSUM LEIZHOUENSE* (FUCALES, PHAEOPHYTA) IN MORPHOLOGICAL ATTRIBUTES

ZHAO Su-Fen¹, SUN Hui-Qiang², LIU Dong-Chao¹

(1. Fisheries College, Guangdong Ocean University, Zhanjiang 524025, China;
2. Education Example Center, Guangdong Ocean University, Zhanjiang 524088, China)

Abstract *Sargassum leizhouense* inhabiting in Leizhou Peninsula, South China was re-examined in taxonomy in morphology and anatomic details. Differences between *S. leizhouense* and other three *Sargassum* species were compared; and the taxonomic keys and positions revised. It is showed that *S. leizhouense* belonged to *Sargassum*, Subgenus *Sargassum*, Section *Zygocarpicae*, Subsection *Pseudozygocarpicae*. Although *S. leizhouense* shared many morphological characters with *S. vachellianum*, *S. bulbiferum* in *Zygocarpicae* Section and *S. henslowianum* in *Malacocarpicae* section, we believe that the main differences between *S. leizhouense* and other species are in terms of bulbil and furcated basal leaves. The taxonomic revision on *S. leizhouense* shall be instructive to the culture and seedling nursery of the species.

Key words *Sargassum leizhouense*; morphological characters; structural characters; taxonomic position